

## معرفی حالت‌های همدوس-چلانده در هم‌تنیده و تولید فیزیکی آنها

امیر کریمی<sup>(۱),(۲)</sup>؛ محمد کاظم توسلی<sup>(۱),(۳)</sup>

<sup>(۱)</sup> گروه انمی و مولکولی، دانشکده فیزیک، دانشگاه یزد، یزد

<sup>(۲)</sup> گروه فیزیک، دانشگاه آزاد اسلامی، آباده، فارس

<sup>(۳)</sup> گروه پژوهشی فوتونیک، مرکز تحقیقات مهندسی، دانشگاه یزد، یزد

چکیده - در دو دهه اخیر، طرح‌های بسیاری به منظور مطالعه و تولید حالت‌های نوع متغیر پیوسته در هم‌تنیده معرفی و پیشنهاد شده است. در این مقاله، پس از معرفی کوتاه بر حالت‌های همدوس و چلانده به عنوان دو رده از حالت‌های کوانتومی نوع متغیر پیوسته، به معرفی رده جدیدی از حالت‌های در هم‌تنیده به نام "حالت‌های همدوس-چلانده در هم‌تنیده" می‌پردازیم. سپس، با ارائه یک طرح‌واره نظری مبتنی بر برهم‌کنش اتم-میدان، حالت‌های در هم‌تنیده معرفی شده را تولید می‌کنیم. در این طرح‌واره، یک اتم سه ترازی نوع  $\Delta$  با یک میدان کوانتیده دومدی در حضور دو میدان کلاسیکی قوی برهم‌کنش می‌کند.

کلید واژه - حالت‌های همدوس، حالت‌های چلانده، حالت‌های همدوس-چلانده در هم‌تنیده.

## The introduction of entangled coherent-squeezed states and their physical generation

A. Karimi<sup>(1),(2)</sup>; M. K. Tavassoly<sup>(1),(3)</sup>

<sup>(1)</sup> Atomic and Molecular Group, Faculty of Physics, University of Yazd, Yazd

<sup>(2)</sup> Department of Physics, Islamic Azad University of Abadeh, Fars

<sup>(3)</sup> Photonic & Research Group, Engineering Research Center, University of Yazd, Yazd

**Abstract-** In recent two decades, many schemes have been suggested to study and produce entangled continuous-variable-type states. In this paper, after a brief review on the coherent and squeezed states as two types of such quantum states and squeezed states, we introduce a new class of entangled states, namely "entangled coherent-squeezed states". Next, to generate the introduced entangled states, we present a theoretical scheme based on the atom-field interaction. In the scheme, a  $\Lambda$ -type three-level atom interacts with the two-mode quantized field in the presence of two strong classical fields.

**Keywords:** Coherent states, Squeezed states, Entangled coherent-squeezed states.

این مقاله در صورتی دارای اعتبار است که در سایت [www.opsi.ir](http://www.opsi.ir) قابل دسترسی باشد.

## ۱- مقدمه

امروزه مفاهیم احتمال، اندازه‌گیری، تقسیم حالت‌ها و درهم‌تنیدگی به موضوع‌های مهمی در مکانیک کوانتومی تبدیل شده است. مفهوم درهم‌تنیدگی برای اولین بار در سال ۱۹۳۵ توسط شرودینگر مطرح شد. حالت یک سامانه دومدی را درهم‌تنیده گویند، اگر نتوان آن را بر حسب حاصل ضرب توابع حالت زیرسامانه‌ها نوشت [۱]. حالت‌های کوانتومی درهم‌تنیده کاربردهای بسیاری در فرایند اطلاعات کوانتومی از قبیل رمزگاری [۲]، انتقال اطلاعات [۳] و محاسبات کوانتومی [۴] دارند. اخیراً با استفاده از حالت‌های همدوس و چلاند به عنوان دو رده مهم از حالت‌های کوانتومی نوع متغیر پیوسته معمول و مورد استفاده در فرایند اطلاعات کوانتومی، "حالت‌های همدوس درهم‌تنیده" و "حالت‌های چلاند درهم‌تنیده" متنوع بسیاری معرفی و طرح‌های گوناگونی برای تولید آنها پیشنهاد شده است [۷-۵].

در این مقاله، به معرفی و تولید نوع جدیدی از حالت‌های نوع متغیر پیوسته درهم‌تنیده به نام "حالت‌های همدوس-چلاند درهم‌تنیده" می‌پردازیم که مدهای اول و دوم این حالت‌ها، به ترتیب حالت‌های همدوس و چلاند هستند.

## ۲- معرفی حالت‌های همدوس-چلاند درهم-تنیده

ابتدا به مروری کوتاه بر دو رده از حالت‌های کوانتومی نوع متغیر پیوسته، حالت‌های همدوس و چلاند می‌پردازیم. حالت‌های همدوس، حالت‌هایی با کمترین عدم قطعیت هستند که برای نخستین بار در سال ۱۹۲۶ توسط شرودینگر معرفی شدند. این حالت‌ها که ویژه‌حالات عملگر نابودی هستند ( $a|\alpha\rangle = \alpha|\alpha\rangle$ ، با کنش عملگر جابجایی  $D(\alpha) = \exp(\alpha a^\dagger - \alpha^* a)$ ) روی حالت خلاء میدان به شکل زیر به دست می‌آیند [۸]:

$$|\pm\alpha\rangle = e^{-\frac{|\alpha|^2}{2}} \sum_{n=0}^{\infty} (\pm 1)^n \frac{\alpha^n}{\sqrt{n!}} |n\rangle \quad (1)$$

که در آن  $a$  و  $a^\dagger$  به ترتیب عملگرهای بوزونی نابودی و آفرینش و  $\alpha = re^{i\theta}$  یک عدد مختلط است.

به عنوان یکی دیگر از حالت‌های کوانتومی نوع متغیر پیوسته می‌توان به حالت‌های چلاند اشاره کرد. این حالت‌ها، برای نخستین بار در سال ۱۹۷۰ توسط استولر به شکل ریاضی فرمول‌بندی [۹] و در سال ۱۹۸۵ توسط اسلام‌شهر [۱۰] در آزمایشگاه مشاهده شدند. دو رده از

حالت‌های چلاند به نام حالت‌های چلاند زوج و فرد با

$$\begin{aligned} \text{کنش عملگر چلاند} & \xi = \exp\left(-\frac{\xi^2}{2} a^2 - \frac{\xi}{2} a^{\dagger 2}\right) S(\xi) \text{ به} \\ \text{ترتیب روی حالت خلاء میدان} & \langle 0 | \text{ و حالت تکفوتوئی} \\ \text{میدان} & \langle 1 | \text{ از رابطه زیر به دست می‌آیند [۱۱]} \\ |\pm\xi\rangle_e & = S(\pm\xi)|0\rangle \end{aligned}$$

$$= N_e(\xi) \sum_{p=0}^{\infty} (\mp 1)^p \frac{\sqrt{(2p)!}}{2^p p!} (\tanh r)^p |2p\rangle \quad (2)$$

$$\begin{aligned} |\pm\xi\rangle_o & = S(\pm\xi)|1\rangle \\ & = N_o(\xi) \sum_{p=0}^{\infty} (\mp 1)^p \frac{2^p p!}{\sqrt{(2p+1)!}} (\tanh r)^p |2p+1\rangle \quad (3) \end{aligned}$$

که در اینجا نیز  $r e^{i\theta} = \xi$  یک عدد مختلط است. زیرنویس‌های  $e$  و  $o$  به ترتیب بیان‌گر حالت‌های چلاند زوج و فرد در روابط (۲) و (۳) هستند. ضرایب  $(\xi)$  و  $N_e(\xi)$  نیز از شرط بهنجارش به دست می‌آیند.

قابل ذکر است که در این مقاله اندازه‌های  $\alpha$  و  $\xi$  یکسان و برابر  $r$  و فاز آنها  $\theta$  نیز صفر در نظر گرفته شده است. اکنون، با استفاده از حالت همدوس (۱) و حالت‌های چلاند (۲) و (۳)، دو رده از "حالت‌های همدوس-چلاند درهم‌تنیده" را به شکل زیر معرفی می‌کنیم:

$$|\psi(\alpha, \xi)\rangle_e = M_e(\alpha, \xi) \left[ |\alpha\rangle_a |-\xi\rangle_{e,b} + |\alpha\rangle_a |\xi\rangle_{e,b} \right] \quad (4)$$

$$|\psi(\alpha, \xi)\rangle_o = M_o(\alpha, \xi) \left[ |\alpha\rangle_a |-\xi\rangle_{o,b} + |\alpha\rangle_a |\xi\rangle_{o,b} \right] \quad (5)$$

که در آنها  $M_e(\alpha, \xi)$  و  $M_o(\alpha, \xi)$  ثابت‌های بهنجارش و زیرنویس‌های  $a$  و  $b$  به ترتیب بیان‌گر مدهای اول و دوم میدان هستند. نمایش عددی "حالت‌های همدوس-چلاند درهم‌تنیده" در روابط بالا را نیز می‌توان با استفاده از روابط (۱)-(۳) به شکل زیر بازنویسی کرد:

$$\begin{aligned} |\psi(\alpha, \xi)\rangle_e & = M_e(\alpha, \xi) N_e(\xi) \\ & \sum_{p,q=0}^{\infty} \left( (-1)^p + (-1)^q \right) \frac{r^p}{\sqrt{p!}} \frac{\sqrt{(2q)!}}{2^q q!} (\tanh r)^q |p\rangle |2q\rangle \quad (6) \end{aligned}$$

$$\begin{aligned} |\psi(\alpha, \xi)\rangle_o & = M_o(\alpha, \xi) N_o(\xi) \sum_{p,q=0}^{\infty} \left( (-1)^p + (-1)^q \right) \\ & \frac{r^p}{\sqrt{p!}} \frac{2^q q!}{\sqrt{(2q+1)!}} (\tanh r)^q |p\rangle |2q+1\rangle \quad (7) \end{aligned}$$

هدف بعدی ما در این مقاله ارائه یک طرح‌واره فیزیکی به منظور تولید "حالت‌های همدوس-چلاند درهم‌تنیده" معرفی شده در روابط (۴) و (۵) است.

توصیف دینامیک سامانه با استفاده از میدان‌های کلاسیکی قوی، پایه‌های زیر را معرفی می‌کنیم:

$$|0\rangle = \frac{1}{\sqrt{\Omega_a^2 + \Omega_b^2}} (\Omega_b e^{-i\varphi_b} |1\rangle - \Omega_a e^{-i\varphi_a} |2\rangle)$$

$$|\pm\rangle = \frac{1}{\sqrt{2}} [ |3\rangle \pm \frac{1}{\sqrt{\Omega_a^2 + \Omega_b^2}} (\Omega_a e^{-i\varphi_a} |1\rangle + \Omega_b e^{-i\varphi_b} |2\rangle) ] \quad (9)$$

که ویژه‌حالتهای عملگر  $H_{cl}$  به ترتیب با ویژه‌مقادیر  $\pm\sqrt{\Omega_a^2 + \Omega_b^2}$  هستند:

$$H_{cl} |0\rangle = 0, \quad H_{cl} |\pm\rangle = \pm\sqrt{\Omega_a^2 + \Omega_b^2} |\pm\rangle \quad (10)$$

سپس، عملگرهای  $H_{cl}$  و  $H_{cav}$  را بر حسب پایه‌های معرفی شده  $|\pm\rangle$  و  $|0\rangle$  بازنویسی و به منظور ساده‌سازی دینامیک سامانه، از تصویر برهم‌کنشی که از تبدیل زیر به دست می‌آید، استفاده می‌کنیم [۱۲]:

$$R = \exp[-i\sqrt{\Omega_a^2 + \Omega_b^2} (|+\rangle\langle+| - |-\rangle\langle-|)t] \quad (11)$$

بر این اساس هامیلتونی تبدیل یافته زیر به دست می‌آید:

$$H' = R^\dagger H R - i R^\dagger \frac{dR}{dt} \quad (12)$$

با فرض محدوده لیزرنی قوی ( $\Omega_a, \Omega_b \ll g_a, g_b$ ) و حذف جملاتی با نوسان سریع در  $H'$ ، هامیلتونی مؤثر  $H_{eff}$  به شکل زیر تعیین می‌شود:

$$H_{eff} = \frac{g_a \Omega_a}{2\sqrt{\Omega_a^2 + \Omega_b^2}} (|+\rangle\langle+| - |-\rangle\langle-|) (e^{-i\varphi_a} a^\dagger + e^{i\varphi_a} a) + \frac{g_b \Omega_b}{2\sqrt{\Omega_a^2 + \Omega_b^2}} (|+\rangle\langle+| - |-\rangle\langle-|) (e^{-i\varphi_b} b^{\dagger 2} + e^{i\varphi_b} b^2) \quad (13)$$

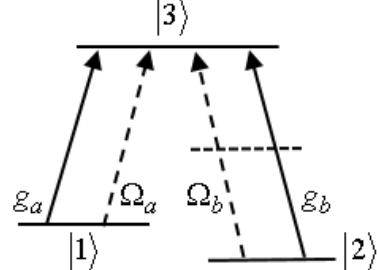
عملگر تحول زمانی متناظر با هامیلتونی (۵)، از رابطه زیر به دست می‌آید:

$$U(t) = RU_{eff}(t) = R \exp(-iH_{eff}t/\hbar) = \exp[-it\sqrt{\Omega_a^2 + \Omega_b^2} (|+\rangle\langle+| - |-\rangle\langle-|)] \times \exp\{-it(|+\rangle\langle+| - |-\rangle\langle-|)\} \times [\frac{g_a \Omega_a}{2\sqrt{\Omega_a^2 + \Omega_b^2}} (e^{-i\varphi_a} a^\dagger + e^{i\varphi_a} a) + \frac{g_b \Omega_b}{2\sqrt{\Omega_a^2 + \Omega_b^2}} (e^{-i\varphi_b} b^{\dagger 2} + e^{i\varphi_b} b^2)] \quad (14)$$

اکنون، با عبور یک اتم سه‌ترازی از درون کاواک، با تمهدید شرایط اولیه مناسب برای اتم و میدان، "حالتهای همدوس-چلاندۀ درهم‌تنیده" معرفی شده را تولید می‌کنیم.

بدین منظور، ابتدا اتم سه‌ترازی و میدان را به ترتیب در حالت برانگیخته  $|3\rangle$  و حالت‌های خلاء میدان دومدی  $|0\rangle_a$  در نظر می‌گیریم. با استفاده از عملگر

۳- تولید حالتهای همدوس-چلاندۀ درهم‌تنیده در این قسمت، می‌خواهیم با ارائه یک طرح‌واره فیزیکی، "حالتهای همدوس-چلاندۀ درهم‌تنیده" معرفی شده در قسمت قبل را تولید کنیم. در این طرح‌واره از برهم‌کنش تشدیدی یک اتم سه‌ترازی نوع  $\Lambda$  با یک کاواک دومدی در حضور دو میدان کلاسیکی قوی استفاده می‌شود. یک تشیدیدگر فایبری-پرو، کاواک حمل کننده دو میدان  $a$  و  $b$  میدان و یک اتم سه‌ترازی نوع  $\Lambda$  عناصر تشکیل‌دهنده این چیدمان آزمایشگاهی هستند. همان‌طور که در شکل ۱ نشان داده شده است، گذار دوقطبی میان دو حالت پایه  $|1\rangle$  و  $|2\rangle$  اتم سه‌ترازی ممنوع و گذار از حالت برانگیخته  $|3\rangle$  به دو حالت با انرژی‌های کمتر مجاز است. گذارهای  $|1\rangle$  به  $|3\rangle$  ( )  $|2\rangle$  به  $|3\rangle$  با میدان  $a$  با سامد  $\omega_a$  ( )  $\Omega_a$  و فاز  $\varphi_a$  برانگیخته شده، جفت دامنه  $|1\rangle$  و  $|2\rangle$  با میدان  $b$  با سامد  $\omega_b$  ( )  $\Omega_b$  و فاز  $\varphi_b$  برانگیخته شده، جفت شده است. لازم به ذکر است که در این طرح پیشنهادی یکی از دو گذار مجاز در اتم سه‌ترازی نوع  $\Lambda$  ( )  $|1\rangle \leftrightarrow |3\rangle$  ( )  $|2\rangle \leftrightarrow |3\rangle$  گذاری تک‌فوتوئی و گذار دیگر ( ) گذاری دوفوتوئی در نظر گرفته شده است.



شکل ۱- آرایش یک اتم سه‌ترازی نوع  $\Lambda$  و برهم‌کنش آن با دو میدان کلاسیکی و دو میدان کاواک.

با در نظر گرفتن مدهای کاواک و میدان‌های کلاسیکی با گذارهای اتمی متناظر در حالت تشدید، هامیلتونی سامانه اتم-میدان را می‌توان در تصویر برهم‌کنش به شکل زیر توصیف کرد:

$$H = H_{cav} + H_{cl}$$

$$H_{cl} = \Omega_a (\sigma_{13} e^{i\varphi_a} + \sigma_{31} e^{-i\varphi_a}) + \Omega_b (\sigma_{23} e^{i\varphi_b} + \sigma_{32} e^{-i\varphi_b})$$

$$H_{cav} = g_a (\sigma_{13} a^\dagger + \sigma_{31} a) + g_b (\sigma_{23} b^{\dagger 2} + \sigma_{32} b^2) \quad (15)$$

که در آن  $|i\rangle\langle j| = \sigma_{ij}$  شباهسپینورهای پانولی و  $a^\dagger$  و  $b^\dagger$  عملگرهای آفرینش و نابودی میدان  $a$  ( )  $b$  هستند. در این طرح‌واره فیزیکی پالس‌های لیزری را بسیار قوی ( $\Omega_a, \Omega_b \ll g_a, g_b$ ) در نظر می‌گیریم. برای

#### ۴-نتیجه‌گیری

این مقاله را با توضیح مختصراً بر حالت‌های همدوس و چلاندۀ به عنوان دو رده از حالت‌های کوانتومی نوع متغیر پیوسته معمول و کاربردی در فرایند اطلاعات کوانتومی، آغاز کردیم. سپس، به معروفی نوع جدیدی از حالت‌های نوع متغیر پیوسته درهم‌تنیده به نام "حالت‌های همدوس-چلاندۀ درهم‌تنیده" پرداختیم که مدهای اول و دوم این حالت‌های کوانتومی درهم‌تنیده دومدی به ترتیب حالت‌های همدوس و چلاندۀ هستند. به منظور تبیین تحقق فیزیکی حالت‌های معروفی شده، یک طرح‌واره فیزیکی برای تولید "حالت‌های همدوس-چلاندۀ درهم‌تنیده" معروفی شده بر اساس برهم‌کنش اتم-میدان ارائه کردیم. در این طرح‌واره نظری، یک اتم سه ترازی نوع  $\Lambda$  در حضور دو میدان کلاسیکی قوی با یک میدان کوانتیده دومدی برهم‌کنش می‌کند. همان‌گونه که ملاحظه شد توانستیم با انتخاب مناسب شرایط اولیه اتم-میدان، حالت‌های موردنظر را در زمان‌های قابل تنظیم تولید کنیم.

#### مراجع

- [1] E. Schrödinger "Die gegenwärtige situation in der quantenmechanik", Naturwissenschaften, **23** 823, 1935.
- [2] A. Ekert "Quantum cryptography based on Bell's theorem" Phys. Rev. Lett. **67** 661, 1991.
- [3] C. H. Bennett, G. Brassard, C. Crépeau, R. Jozsa, A. Peres and W. K. Wootters "Teleporting an unknown quantum state via dual classical and Einstein-Podolsky-Rosen channels" Phys. Rev. Lett. **70** 1895, 1993.
- [4] A. Barenco, D. Deutsch, A. Ekert and R. Jozsa "Conditional quantum dynamics and logic gates" Phys. Rev. Lett. **74** 4083, 1995.
- [5] V. Man'kov, G. Marmo, E. Sudarshan and F. Zaccaria "f-Oscillators and nonlinear coherent states" Phys. Scr. **55** 529, 1997.
- [6] A. Karimi and M. K. Tavassoly "Quantum engineering and nonclassical properties of  $SU(1,1)$  and  $SU(2)$  entangled nonlinear coherent states" Phys. Scr. **90** 015101, 2015.
- [7] L. A. Wu, H. J. Kimble, J. L. Hall and H. Wu "Generation of squeezed states by parametric down conversion" Phys. Rev. Lett. **57** 2520, 1986.
- [8] E. Schrödinger "Der stetige Übergang von der Mikro- zur Makromechanik" Naturwissenschaften **14** 664, 1926.
- [9] D. Stoler "Equivalence classes of minimum uncertainty packets" Phys. Rev. D **1** 3217, 1970.
- [10] R. E. Slusher, L. W. Hollberg, B. Yurke, J. C. Mertz and J. F. Valley Slusher "Observation of squeezed states generated by four-wave mixing in an optical cavity" Phys. Rev. Lett. **55** 2409, 1985.
- [11] C. C. Gerry and P. L. Knight "Introductory Quantum Optics" Cambridge University Press, New York 2005.
- [12] X. B. Zou and W. Mathis "Generation of an entangled coherent state and reconstruction of a two-mode entangled state via resonant interaction" Phys. Lett. A **337** 305, 2005.

تحول زمانی (۱۴)، کنش آن روی حالت سامانه اتم-میدان

$$\alpha = -it \frac{g_a \Omega_a e^{-i\phi_a}}{2\sqrt{\Omega_a^2 + \Omega_b^2}}$$

$$+ \text{پس از محاسباتی چند با قراردادن} = -it \frac{g_b \Omega_b e^{-i\phi_b}}{\sqrt{\Omega_a^2 + \Omega_b^2}}$$

عبور اتم از میان کاواک از رابطه زیر به دست می‌آید:

$$\frac{1}{\sqrt{2}} (e^{-it\sqrt{\Omega_a^2 + \Omega_b^2}} e^{\alpha a^\dagger - \alpha^* a} e^{-\frac{\xi^*}{2} b^2 + \frac{\xi}{2} b^{*2}} |+\rangle|0\rangle_a|0\rangle_b)$$

$$+ (e^{it\sqrt{\Omega_a^2 + \Omega_b^2}} e^{-\alpha a^\dagger + \alpha^* a} e^{\frac{\xi^*}{2} b^2 - \frac{\xi}{2} b^{*2}} |-\rangle|0\rangle_a|0\rangle_b) \quad (15)$$

با کنش عملگرهای جابجایی و چلاندگی ظاهر شده در رابطه بالا بر حالت خلاء میدان دومدی، می‌توان این رابطه را به شکل زیر بازنویسی کرد:

$$\frac{1}{\sqrt{2}} (e^{-it\sqrt{\Omega_a^2 + \Omega_b^2}} |+\rangle|\alpha\rangle_a|-\xi\rangle_{e,b}) \quad (16)$$

$$+ e^{it\sqrt{\Omega_a^2 + \Omega_b^2}} |-\rangle|-\alpha\rangle_a|\xi\rangle_{e,b})$$

اگر اتم پس از خروج از کاواک در حالت برانگیخته  $|3\rangle$  آشکارسازی شود، سامانه در حالت زیر قرار می‌گیرد:

$$|\psi(t)\rangle_e = M_e(\alpha, \xi) \left[ e^{-it\sqrt{\Omega_a^2 + \Omega_b^2}} |\alpha\rangle_a |-\xi\rangle_{e,b} + e^{it\sqrt{\Omega_a^2 + \Omega_b^2}} |-\alpha\rangle_a |\xi\rangle_{e,b} \right] \quad (17)$$

اکنون می‌توان با انتخاب بازه زمانی  $\tau = 2\pi/\sqrt{\Omega_a^2 + \Omega_b^2}$ ، "حالت همدوس-چلاندۀ درهم‌تنیده" زوج معروفی شده در رابطه (۱۷) را به دست آورد:

$$|\psi(\tau)\rangle_e = M_e(\alpha, \xi) \left[ |\alpha\rangle_a |-\xi\rangle_{e,b} + |-\alpha\rangle_a |\xi\rangle_{e,b} \right] \quad (18)$$

با استفاده از همین روش، نوع دیگر "حالت همدوس-چلاندۀ درهم‌تنیده" معروفی شده در رابطه (۱۸) با در نظر گرفتن حالت اولیه میدان دومدی کاواک در حالت  $|0\rangle_a |1\rangle_b$  به دست می‌آید. در این مورد نیز می‌توان با انجام محاسباتی مشابه با فرایندهای مشابه (۱۵)-(۱۸)، "حالت همدوس-چلاندۀ درهم‌تنیده" فرد (رابطه (۱۷)) را به شکل زیر تولید کرد:

$$|\psi(\tau)\rangle_o = M_o(\alpha, \xi) \left[ |\alpha\rangle_a |-\xi\rangle_{o,b} + |-\alpha\rangle_a |\xi\rangle_{o,b} \right] \quad (19)$$